

Apéndices

Apéndice A. Volcanes monogenéticos del noreste de Caldas

Figura A1

Volcanes monogenéticos del noreste de Caldas

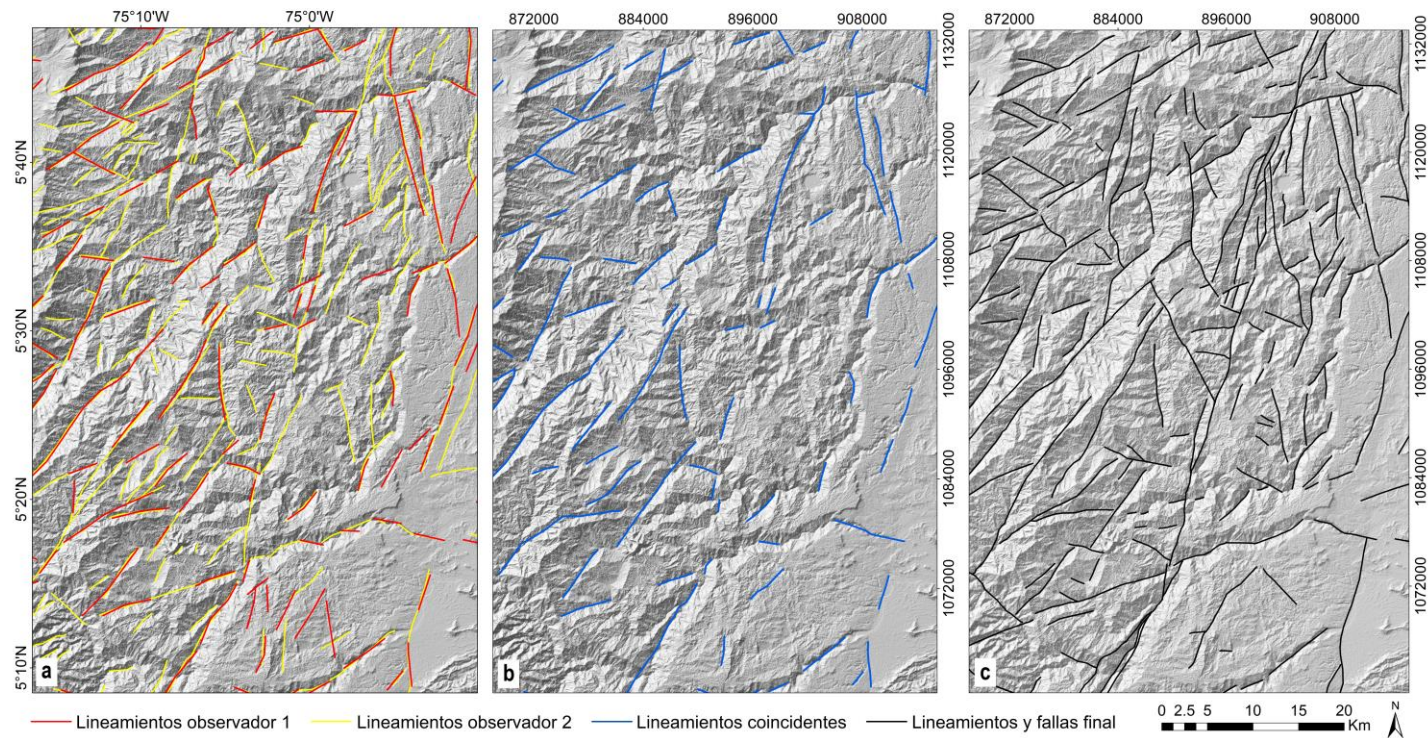


Nota. Fotografías de algunos de los volcanes monogenéticos del noreste de Caldas tomadas durante el trabajo de campo. La numeración corresponde con la Tabla 1.

Apéndice B. Metodología para el trazado de lineamientos estructurales principales

Figura B1

Trazado de lineamientos estructurales principales



Nota. a) Superposición de lineamientos trazados por 2 observadores. b) Intersección de los lineamientos. c) Capa de lineamientos coincidentes, considerando las fallas de la cartografía 1:100.000 - 1:500.000 del SGC y los lineamientos trazados a partir del análisis morfoestructural.

Apéndice C. Coordenadas de las estaciones de campo

Tabla C1

Coordenadas de las estaciones de campo (EPSG:3116)

Estación	Coordenadas			Unidad geológica (1:100.000)	Estación	Coordenadas			Unidad geológica (1:100.000)
	X	Y	Z			X	Y	Z	
AU-01	919147	1108214	235	Tsh	AU-48	875996	1071997	2244	TRnq
AU-02	914817	1108644	357	-	AU-49	877699	1070516	2118	TRnq
AU-03	913942	1108199	295	TRes	AU-50	878618	1071005	1932	TRnq
AU-04	913432	1108103	263	TRes	AU-51	879513	1086591	2038	Domo Piamonte
AU-05	914223	1108712	353	TRes	AU-52	884794	1086130	1889	TRnq
AU-06	897487	1102364	1173	TRes	AU-53	885063	1083771	1880	TRnq
AU-07	893150	1102452	1627	Tcdf	AU-54	884264	1082422	1653	TRnq
AU-08	894354	1102130	1467	Contacto Tcdf y TRnq	AU-55	882859	1075575	2325	Domo Guadalupe
AU-09	895937	1101906	1285	Fm. Caballuna en Tcdf	AU-56	883875	1078815	1649	TRnq
AU-10	897116	1102429	1143	Contacto Tcdf y TRes	AU-57	884968	1078915	1680	TRnq
AU-11	899613	1103028	1186	Kds	AU-57-1	882317	1077967	1786	TRnq
AU-12	899999	1106010	1091	Kas	AU-57-2	881090	1073095	1858	TRnq
AU-13	900721	1108261	1090	Kas	AU-58	883059	1061202	1458	a
AU-14	901082	1108842	993	Kas	AU-59	883055	1061842	1444	In

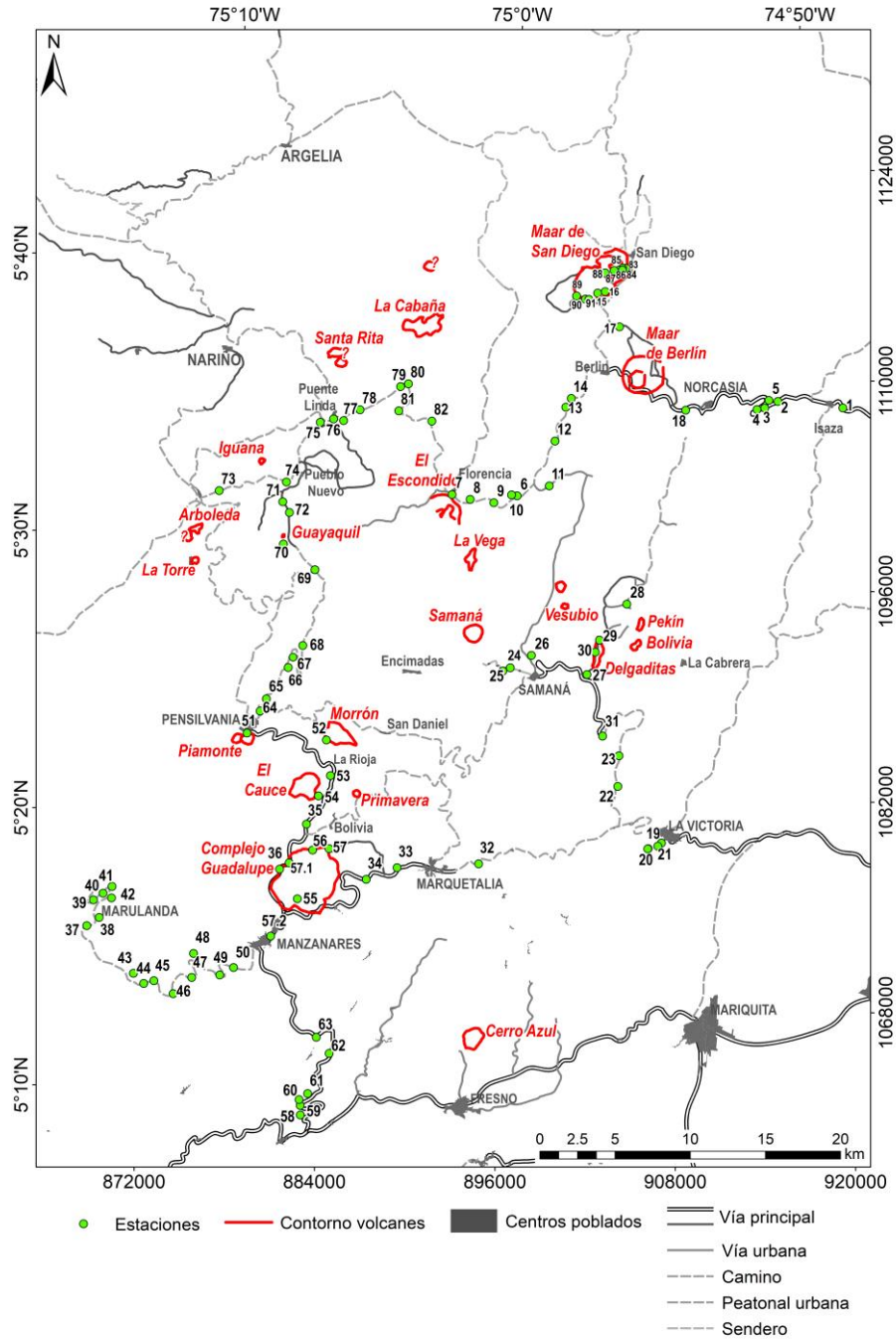
AU-15	902830	1115843	800	Contacto entre TRes y depósitos de San Diego	AU-60	882976	1062229	1632	In
AU-16	903337	1115941	832	Qto	AU-61	883550	1062629	1469	Contacto entre In y a
AU-17	904290	1113603	849	TRev	AU-62	884976	1065300	1527	In
AU-18	908692	1108059	824	In	AU-63	884122	1066370	1500	TRnq
AU-19	907082	1079284	677	TRes	AU-64	880383	1088062	2093	TRnq
AU-20	906197	1078917	629	TRes	AU-65	880798	1088871	2205	TRnq
AU-21	906834	1079076	622	TRes	AU-66	882259	1090956	2486	TRnq
AU-22	904178	1083046	906	TRes	AU-67	882259	1090956	2486	TRnq
AU-23	904258	1085085	743	TRes	AU-68	883227	1092418	2564	TRnq
AU-24	897029	1090933	1570	Kds	AU-69	884033	1097455	2017	TRnq
AU-25	896528	1090718	1660	Contacto entre Kds y TRes	AU-70	881936	1099160	1264	TRes
AU-26	898428	1091762	1354	Kds	AU-71	881894	1101969	797	R. Volcánicas
AU-27	902121	1090484	1083	TRes	AU-72	882333	1101256	854	R. Volcánicas
AU-28	904774	1095168	850	Tadm	AU-73	877660	1102716	913	TRes
AU-29	902952	1092774	1044	V. Delgaditas	AU-74	882132	1103287	753	TRes
AU-30	902673	1091973	1002	V. Delgaditas	AU-75	884386	1107260	663	TRes
AU-31	903161	1086396	1120	TRnq	AU-76	885271	1107483	653	TRnq
AU-32	894917	1077903	1453	TRes	AU-77	885942	1107368	781	Contacto entre TRes y TRnq
AU-33	889497	1077646	1481	TRes	AU-78	887034	1108088	926	TRes

AU-34	887441	1076867	1504	TRes	AU-79	889726	1109632	1243	TRes
AU-35	883473	1080543	1726	TRnq, sobre el Río Salado	AU-80	890248	1109815	1237	TRes
AU-36	881682	1077555	1852	TRnq	AU-81	889602	1108016	1064	TRnq
AU-37	868853	1073789	2007	Pmm	AU-82	891805	1107337	1393	TRes
AU-38	869676	1074339	2634	Pmm	AU-83	904704	1117506	1008	In
AU-39	869300	1075509	259	Cerca del contacto entre Pmm y Qfl	AU-84	904477	1117502	967	Depósitos del maar de San Diego
AU-40	869941	1075949	2574	Cerca del contacto entre Pmm y Qfl	AU-85	904263	1117374	982	Plug de San Diego?
AU-41	870535	1076402	-	Pmm	AU-86	904476	1117376	958	Depósitos del maar de San Diego
AU-42	870501	1075640	2663	Pmm	AU-87	903936	1117345	956	Depósitos del maar de San Diego
AU-43	871962	1070631	2540	TRes	AU-88	903339	1117192	824	Depósitos del maar de San Diego
AU-44	872646	1069951	2454	TRnq	AU-89	901428	1115655	917	Depósitos del maar de San Diego
AU-45	873322	1070131	-	TRnq	AU-90	902014	1115450	905	Depósitos del maar de San Diego
AU-46	874605	1069277	2617	TRnq	AU-91	902254	1115434	842	Depósitos del maar de San Diego cerca de TRes
AU-47	875831	1070350	2428	TRnq	-	-	-	-	-

Nota. El nombre de las unidades geológicas corresponde con la Figura 7. Complejo Cajamarca (TRnq - cuarcitas, Tres – esquistos, Pmm – metasedimentitas), Intrusivos Néisicos y Anfibolitas (In, a - anfibolita), Complejo Ígneo de Samaná (Kds, Kas - alaskita), Grupo Honda (Tsh), Stock de Florencia (Tcdf), Pórfido Dacítico (Td), Pórfido El Morro (Tadm), Pórfido Dacítico Hornbléndico (Tadh), Cuaternarios (Qto – piroclásticos, Qar - aluviones, Qfl – flujos de lodo volcánico).

Figura C1

Mapa de estaciones de campo



Nota. Ubicación de las estaciones de campo, resaltando las vías y municipios o corregimientos del noreste de Caldas visitados. Se elimina el prefijo “AU” del nombre de las estaciones para simplificar la representación.

Apéndice D. Datos estructurales

Tabla D1

Diaclasas

Estación	AB	Buz	Estación	AB	Buz	Estación	AB	Buz	Estación	AB	Buz
AU-03	343	80	AU-27	12	69	AU-46	260	63	AU-69_1	43	55
AU-03	343	88	AU-27	2	60	AU-47	240	64	AU-70	295	50
AU-03	341	50	AU-27	179	28	AU-47	177	48	AU-70	277	44
AU-03	338	79	AU-27	31	71	AU-47	162	86	AU-70	211	77
AU-03	348	77	AU-28	341	38	AU-49	275	65	AU-70	44	62
AU-03	338	78	AU-28	131	30	AU-49	239	86	AU-70	42	65
AU-03	352	75	AU-28	127	66	AU-49	239	84	AU-70	211	68
AU-03	331	75	AU-28	307	46	AU-49	233	87	AU-70	34	74
AU-03	292	52	AU-28	271	74	AU-49	238	90	AU-70	16	80
AU-03	287	54	AU-28	101	29	AU-49	262	74	AU-70	68	48
AU-03	241	80	AU-28	219	68	AU-50	339	44	AU-70	67	54
AU-03	237	88	AU-28	211	87	AU-50	352	52	AU-70	190	83
AU-03	169	88	AU-29	330	88	AU-50	152	52	AU-70	202	79
AU-03	171	80	AU-29	331	67	AU-50	274	88	AU-70	199	81
AU-03	162	86	AU-29	162	82	AU-51	82	80	AU-71	291	54
AU-03	7	88	AU-29	47	51	AU-51	102	86	AU-71	335	64
AU-03	2	70	AU-29	94	70	AU-51	88	90	AU-71	283	54
AU-03	1	81	AU-29	80	60	AU-51	109	72	AU-71	319	60
AU-04	341	80	AU-29	209	24	AU-51	176	52	AU-71	272	80
AU-04	3	80	AU-29	204	42	AU-51	200	57	AU-71	278	80
AU-05	147	88	AU-29	205	5	AU-51	81	82	AU-71	338	13
AU-05	152	88	AU-29	41	42	AU-51	64	28	AU-71	339	14
AU-05	147	82	AU-30	184	88	AU-51	95	70	AU-71	212	82
AU-05	107	62	AU-30	83	36	AU-51	289	84	AU-71	199	80
AU-05	257	38	AU-30	222	83	AU-53	115	38	AU-71	207	82
AU-05	351	82	AU-31	12	80	AU-53	103	70	AU-72	256	53
AU-05	357	80	AU-31	15	81	AU-53	80	67	AU-72	252	54
AU-05	357	74	AU-32	153	52	AU-53	79	67	AU-72	247	86
AU-08	333	50	AU-32	152	53	AU-53	78	66	AU-72	124	59
AU-08	349	62	AU-32	152	52	AU-53	357	90	AU-72	120	83
AU-08	359	56	AU-32	131	50	AU-53	182	80	AU-72	309	72
AU-08	297	72	AU-32	175	65	AU-53	288	74	AU-72	292	80
AU-08	4	55	AU-32	182	84	AU-53	286	78	AU-72	226	51
AU-08	1	53	AU-32	193	61	AU-54	31	37	AU-72	199	83

AU-08	5	50	AU-32	232	47	AU-54	22	37	AU-72	27	79
AU-08	21	39	AU-32	240	79	AU-54	15	27	AU-72	0	56
AU-10	288	41	AU-33	277	40	AU-54	27	78	AU-73	220	74
AU-10	49	82	AU-33	349	32	AU-54	31	80	AU-73	224	80
AU-10	193	63	AU-33	102	74	AU-54	34	86	AU-73	294	88
AU-11	167	60	AU-33	1	68	AU-55	202	50	AU-73	0	62
AU-11	269	64	AU-33	39	80	AU-55	214	44	AU-73	22	61
AU-12	161	70	AU-33	26	82	AU-55	111	71	AU-73	11	83
AU-12	125	44	AU-34	177	86	AU-55	106	78	AU-73	122	89
AU-12	130	56	AU-34	171	50	AU-55	130	69	AU-74	263	63
AU-12	309	36	AU-34	70	40	AU-55	120	69	AU-74	228	74
AU-12	310	46	AU-34	66	48	AU-55	222	44	AU-74	256	59
AU-12	102	40	AU-34	117	59	AU-55	213	40	AU-74	29	43
AU-12	72	66	AU-34	300	40	AU-55	349	83	AU-74	32	60
AU-12	187	66	AU-35	295	80	AU-55	303	66	AU-74	39	51
AU-12	1	70	AU-35	304	83	AU-55	334	72	AU-74	248	46
AU-12	201	70	AU-35	299	76	AU-55	72	43	AU-74	225	40
AU-13	295	62	AU-35	301	82	AU-55	84	23	AU-75	154	73
AU-13	267	70	AU-35	234	80	AU-56	247	82	AU-75	157	65
AU-13	32	24	AU-35	223	77	AU-56	225	32	AU-75	159	67
AU-13	222	88	AU-35	57	89	AU-56	242	80	AU-75	160	83
AU-14	345	58	AU-35	52	88	AU-56	241	82	AU-75	17	59
AU-14	162	70	AU-35	228	81	AU-56	247	80	AU-75	23	68
AU-14	147	42	AU-35	230	88	AU-56	265	88	AU-75	166	60
AU-14	282	44	AU-36	164	60	AU-56	132	60	AU-75	144	80
AU-14	282	56	AU-36	147	42	AU-56	218	33	AU-75	156	70
AU-14	187	62	AU-36	129	32	AU-56	9	55	AU-75	250	53
AU-14	199	86	AU-36	93	76	AU-56	278	63	AU-75	257	50
AU-14	89	72	AU-36	152	70	AU-57	230	37	AU-75	258	60
AU-16	231	38	AU-36	152	38	AU-57	232	45	AU-75	263	65
AU-16	239	56	AU-36	103	35	AU-57	212	40	AU-76	351	73
AU-16	207	88	AU-36	142	55	AU-57	302	68	AU-76	347	74
AU-17	301	45	AU-36	0	49	AU-57	305	80	AU-76	354	76
AU-17	128	73	AU-36	290	80	AU-57-2	122	50	AU-76	345	70
AU-17	165	72	AU-36	347	75	AU-57-2	120	60	AU-76	346	80
AU-17	183	50	AU-36	268	67	AU-58	339	54	AU-76	332	60
AU-17	85	70	AU-36	234	53	AU-58	67	82	AU-76	263	74
AU-17	20	60	AU-36	57	62	AU-58	60	86	AU-76	267	68
AU-18	325	82	AU-37	177	78	AU-58	263	85	AU-76	275	80
AU-18	322	78	AU-37	177	90	AU-58	67	82	AU-76	98	54
AU-18	357	56	AU-37	117	62	AU-58	60	86	AU-77	87	68

AU-19	335	87	AU-37	245	84	AU-59	249	36	AU-77	153	13
AU-19	137	61	AU-37	343	70	AU-59	206	80	AU-77	252	14
AU-19	144	64	AU-38	295	40	AU-60	142	63	AU-77	261	73
AU-19	157	46	AU-38	272	80	AU-60	292	60	AU-77	263	81
AU-19	102	68	AU-38	218	68	AU-60	188	63	AU-77	4	80
AU-19	109	74	AU-39	223	77	AU-60	214	10	AU-77	357	83
AU-19	119	77	AU-39	222	78	AU-60	200	59	AU-77	256	46
AU-19	172	88	AU-39	27	88	AU-60	205	20	AU-77	268	48
AU-19	353	82	AU-39	121	89	AU-60	224	87	AU-78	174	78
AU-20	29	2	AU-39	83	70	AU-61	207	88	AU-78	183	79
AU-20	115	3	AU-39	47	56	AU-61	150	53	AU-78	175	79
AU-20	306	4	AU-40	122	62	AU-61	113	44	AU-78	204	78
AU-20	254	11	AU-40	28	84	AU-61	301	42	AU-78	174	81
AU-20	224	13	AU-40	36	79	AU-62	341	36	AU-78	181	85
AU-20	259	20	AU-40	267	46	AU-62	75	51	AU-78	168	76
AU-20	251	22	AU-40	280	84	AU-62	42	30	AU-78	185	84
AU-20	112	24	AU-40	292	40	AU-62	212	60	AU-78	184	80
AU-20	261	24	AU-40	297	78	AU-62	217	68	AU-78	165	70
AU-20	304	37	AU-40	302	84	AU-62	220	60	AU-78	174	81
AU-20	115	41	AU-40	331	36	AU-63	343	44	AU-78_2	175	66
AU-20	121	46	AU-40	307	36	AU-63	341	42	AU-78_2	170	44
AU-20	107	48	AU-40	320	82	AU-63	331	48	AU-78_2	355	62
AU-20	201	76	AU-41	49	50	AU-63	326	42	AU-78_2	63	62
AU-20	142	80	AU-41	47	53	AU-63	317	78	AU-78_2	293	27
AU-20	245	83	AU-41	22	38	AU-63	125	26	AU-78_2	318	47
AU-20	132	85	AU-41	33	50	AU-63	128	44	AU-78_2	312	58
AU-20	174	86	AU-41	339	24	AU-63	130	30	AU-79	155	83
AU-20	175	89	AU-42	245	90	AU-63	50	64	AU-80	161	50
AU-21	157	78	AU-42	72	70	AU-63	232	84	AU-80	172	50
AU-21	121	88	AU-42	237	70	AU-63	182	18	AU-80	175	50
AU-22	174	51	AU-42	42	74	AU-63	244	80	AU-80	168	63
AU-22	167	35	AU-42	152	70	AU-63	242	73	AU-80	24	28
AU-23	322	64	AU-42	117	48	AU-63	78	88	AU-80	4	32
AU-23	302	48	AU-42	172	60	AU-63	222	69	AU-80	354	16
AU-23	92	12	AU-42	125	64	AU-64	13	83	AU-80	93	86
AU-23	95	42	AU-43	52	67	AU-64	38	80	AU-80	86	68
AU-23	77	60	AU-43	23	36	AU-65	122	63	AU-80	70	64
AU-23	25	77	AU-43	35	60	AU-65	94	78	AU-81	279	78
AU-24	130	54	AU-43	309	66	AU-65	139	61	AU-81	343	68
AU-24	117	77	AU-43	277	80	AU-65	164	28	AU-81	295	78
AU-24	58	58	AU-43	270	82	AU-65	163	28	AU-81	162	37

AU-24	45	68	AU-44	9	69	AU-65	188	32	AU-81	334	68
AU-24	17	76	AU-44	17	60	AU-65	9	26	AU-81	133	63
AU-24	200	62	AU-44	46	88	AU-65	340	66	AU-81	288	72
AU-25	299	54	AU-44	54	79	AU-65	47	86	AU-81	339	88
AU-25	47	68	AU-44	55	62	AU-65	250	16	AU-82	82	30
AU-25	239	76	AU-44	165	30	AU-66	11	83	AU-82	52	30
AU-25	243	89	AU-44	166	72	AU-66	72	68	AU-82	15	66
AU-25	47	84	AU-44	169	22	AU-66	19	60	AU-82	19	76
AU-25	34	89	AU-44	342	44	AU-66	153	72	AU-82	181	61
AU-26	157	89	AU-44	241	76	AU-66	228	66	AU-82	189	24
AU-26	121	81	AU-44	242	77	AU-66	212	80	AU-82	223	63
AU-26	123	60	AU-44	349	82	AU-66	218	84	AU-82	110	81
AU-26	309	62	AU-44	121	78	AU-66	141	34	AU-82	125	72
AU-26	312	70	AU-44	129	10	AU-67	259	53	AU-82	155	67
AU-26	7	80	AU-44	134	12	AU-68	127	76	AU-83	349	53
AU-26	7	89	AU-44	154	44	AU-68	120	79	AU-83	342	74
AU-26	12	72	AU-44	247	18	AU-68	317	84	AU-83	272	56
AU-26	172	28	AU-44	277	86	AU-69	216	50	AU-83	209	64
AU-26	192	88	AU-44	329	32	AU-69	205	48	AU-87	167	83
AU-26	67	72	AU-44	220	10	AU-69	225	86	AU-87	285	89
AU-26	79	32	AU-44	232	74	AU-69	20	10	AU-87	275	51
AU-26	95	38	AU-45	235	69	AU-69	22	6	AU-87	96	58
AU-26	244	85	AU-46	15	59	AU-69-1	329	50	AU-87	266	88
AU-26	18	80	AU-46	20	61	AU-69-1	320	48	AU-87	18	87
AU-26	32	10	AU-46	264	76	AU-69-1	338	42	-	-	-

Tabla D2*Foliación y clivaje*

Estación	AB	Buz	Estación	AB	Buz	Estación	AB	Buz
<i>Foliación</i>								
AU-003	152	22	AU-032	317	42	AU-069	301	80
AU-003	41	18	AU-034	300	40	AU-069	294	74
AU-003	249	37	AU-035	301	82	AU-069_1	241	41
AU-005	92	20	AU-037	177	48	AU-069_1	255	62
AU-006	97	64	AU-037	127	56	AU-070	257	54
AU-006	87	64	AU-038	110	66	AU-073	285	65
AU-008	282	48	AU-039	122	67	AU-075	264	32
AU-008	101	89	AU-039	132	80	AU-076	255	72
AU-008	274	88	AU-039	122	78	AU-078	85	60
AU-008	272	82	AU-041	184	48	AU-078	85	71
AU-010	91	58	AU-041	159	63	AU-078	91	77
AU-015	249	53	AU-042	317	86	AU-078	83	72
AU-016	57	54	AU-042	112	60	AU-078	100	82
AU-016	32	44	AU-043	168	52	AU-078	88	79
AU-016	272	33	AU-043	158	49	AU-078	92	89
AU-016	225	64	AU-045	176	62	AU-078	269	15
AU-017	188	34	AU-046	147	58	AU-078	274	27
AU-019	43	55	AU-046	147	52	AU-078	339	35
AU-019	19	45	AU-047	157	80	AU-078	271	44
AU-019	17	58	AU-049	122	64	AU-078	303	20
AU-021	41	48	AU-050	129	50	AU-078_2	95	51
AU-022	297	57	AU-050	142	50	AU-078_2	79	51
AU-022	302	74	AU-052	149	36	AU-078_2	79	46
AU-023	95	70	AU-056	134	50	AU-079	299	61
AU-025	292	82	AU-057	283	88	AU-079	298	69
AU-025	302	73	AU-060	278	85	AU-079	214	30
AU-027	247	59	AU-060	139	60	AU-080	243	44
AU-027	267	44	AU-063	322	74	AU-081	285	75
AU-027	272	72	AU-064	165	34	AU-082	251	88
AU-027	291	44	AU-064	208	15	AU-082	219	34
AU-031	263	70	AU-064	149	20	AU-083	211	14
AU-031	123	88	AU-065	189	23	AU-083	11	34
AU-031	277	80	AU-066	150	52	AU-087	4	41
AU-032	275	60	AU-069	287	67	AU-087	5	63
AU-032	311	71	AU-069	284	79	-	-	-

<i>Clivaje</i>								
AU-003	258	55	AU-047	131	88	-	-	-

Tabla D3

Venas y diques

Estación	AB	Buz	Estación	AB	Buz	Estación	AB	Buz
<i>Venas</i>								
AU-003	302	78	AU-052	299	40	AU-070	256	33
AU-013	291	89	AU-053	51	24	AU-070	275	46
AU-019	119	35	AU-057	5	46	AU-070	285	66
AU-019	277	80	AU-057	300	71	AU-071	120	50
AU-019	169	48	AU-057	98	88	AU-076	159	61
AU-019	337	83	AU-059	146	50	AU-078	28	46
AU-019	322	68	AU-059	132	46	AU-078	108	86
AU-024	40	50	AU-060	139	60	AU-078	77	86
AU-025	258	60	AU-063	130	87	AU-078	72	89
AU-025	294	50	AU-064	147	36	AU-078	90	89
AU-025	159	64	AU-065	282	54	AU-078	280	80
AU-032	278	60	AU-066	274	86	AU-078_2	179	66
AU-036	271	67	AU-066	164	64	AU-078_2	193	62
AU-036	239	40	AU-066	167	48	AU-079	281	71
AU-042	317	76	AU-067	334	40	AU-079	89	87
AU-042	342	86	AU-067	286	16	AU-083	261	21
<i>Diques</i>								
AU-005	17	68	AU-013	22	88	AU-032	32	46
AU-010	285	36	AU-023	247	80	-	-	-

Tabla D4

Planos estriados

Estación	Litología	AB	Buz	Pitch	Cinemática	Criterio	Certeza
AU-01	Lodolitas	227	60	-	-	-	P
		347	60	Neta en AB	I	Estratigrafía	P
		239	56	-	N	Estratigrafía	P

AU-05	Esquistos	168	21	-	-	-	-	
		110	76	60S	-	-	-	
		141	55	40S	ND	R	S	
		114	62	64S	-	-	-	
AU-06	Esquistos	262	80	65S	D	Correlación	S	
		72	88	48N	S	R	P	
		(más antigua)						
		263	88	72S	ID	R	P	
		79	78	32S	D	R	P	
		312	72	70S	NS	R	P	
		262	80	54S	D	R	C	
		189	52	80E	S	<i>Tool marks</i>	C	
		197	73	40S	S	Escalones	P	
		272	38	2S	D	R	P	
AU-10	Cuarcitas	97	70	51N	NS	R	S	
AU-11	Dioritas	189	70	88S	N	R	P	
AU-19	Cuarcitas	192	88	30W	D	R	P	
		92	53	4N	-	-	-	
		10	78	20W	S	R	P	
		92	75	6N	S	P	S	
		128	53	18S	-	-	-	
		72	59	2S	S	R	P	
AU-22	Esquistos	311	69	83N	I	P	S	
AU-23	Esquistos	219	89	30N	S	R	P	
AU-25	Rocas ígneas	90	78	79N	N	Escalones	S	
	120	82	78S	-	-	-		
	109	72	30N	I	R	P		
AU-31	Esquistos	282	82	3S	D	R	P	
		297	86	2N	D	R	P	
AU-33	Esquistos	24	80	69W	I	P	S	
AU-36	Cuarcitas	75	46	83N	I	R	P	
		67	89	16N	S	R	S	
AU-37	Esquistos	66	81	21N	S	R	P	
		235	68	28N	D	R	P	
		AU-41	Esquistos	130	70	44N	NS	Escalones
142	80			14S	D	R	S	
130	54			14S	S	R	S	
AU-42	Esquistos	195	88	44W	N	R	P	
		104	55	12S	D	R	S	
AU-52	Esquistos	94	50	80S	I	R	P	

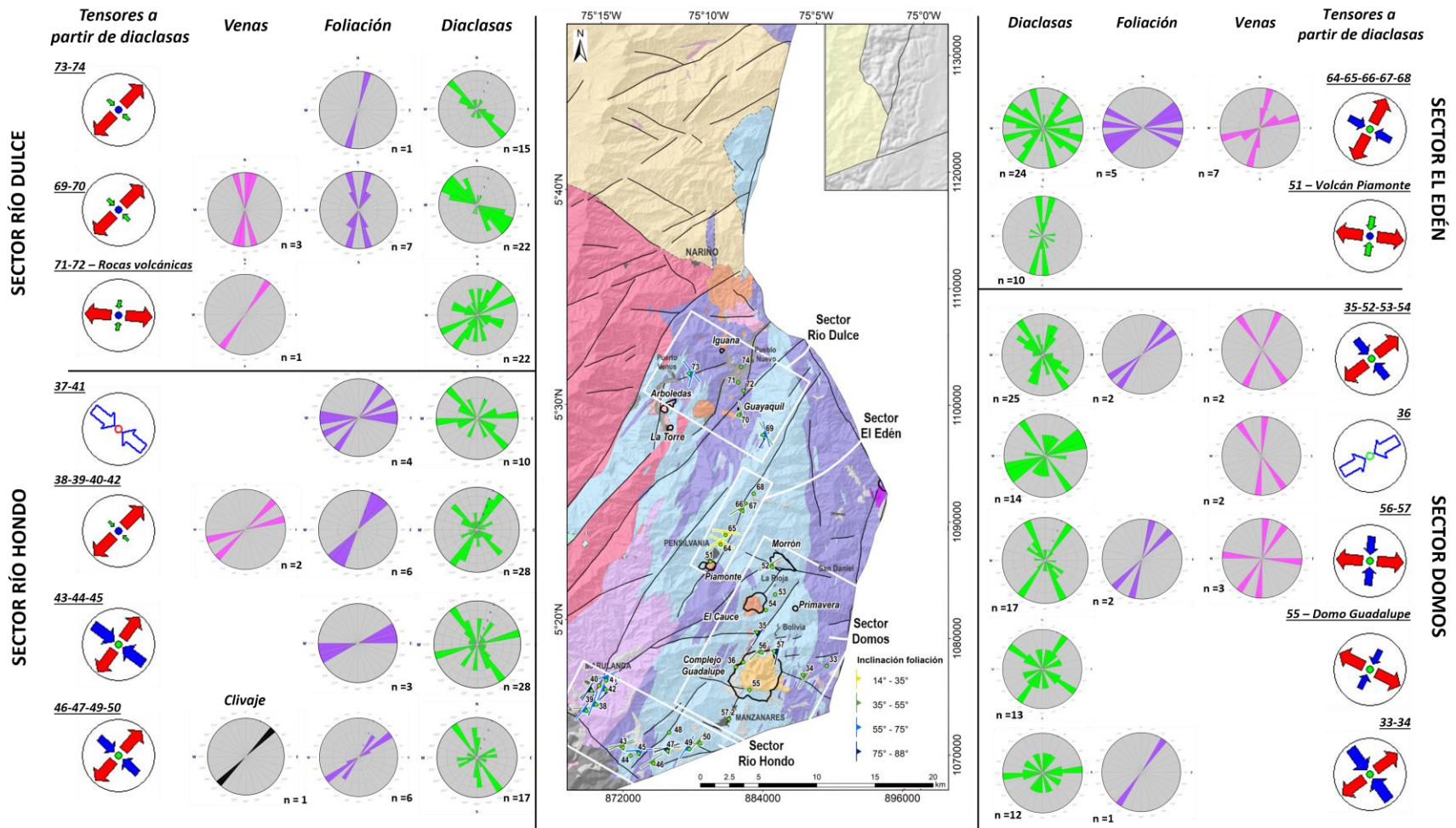
		97	72	66N	S	R	S
AU-53	Neis	287	72	87S	I	R	P
AU-58	Neis (intrusivo néisico)	266	78	22N	D	R	S
AU-68	Cuarcitas	312	88	77S	I	P	P
AU-71	Rocas volcánicas	291 319	54 60	60S 46S	S S	R R - acanaladuras	S S
AU-75	Esquistos	157	71	74E	-	-	-
AU-77	Cuarcitas	298 208 201	42 72 76	5S 4N 6W	D S -	R R -	S P -
AU-78	Esquistos	93	78	16S	S	R	P
AU-79	Cuarcitas	43 313	83 88	44W 2S	D D	R R	S P
AU-81	Cuarcitas	323	74	14N	D	R	P
AU-82	Esquistos	151 159	41 73	74S 83S	I I	R P	S S

Nota. Se indica con una sola letra el cuadrante hacia el que se inclina la estría, ya que el programa lo requiere de esta forma para ser procesados.

Apéndice E. Diagramas rosas y cálculo de tensores a partir de diaclasas (por estaciones)

Figura E1

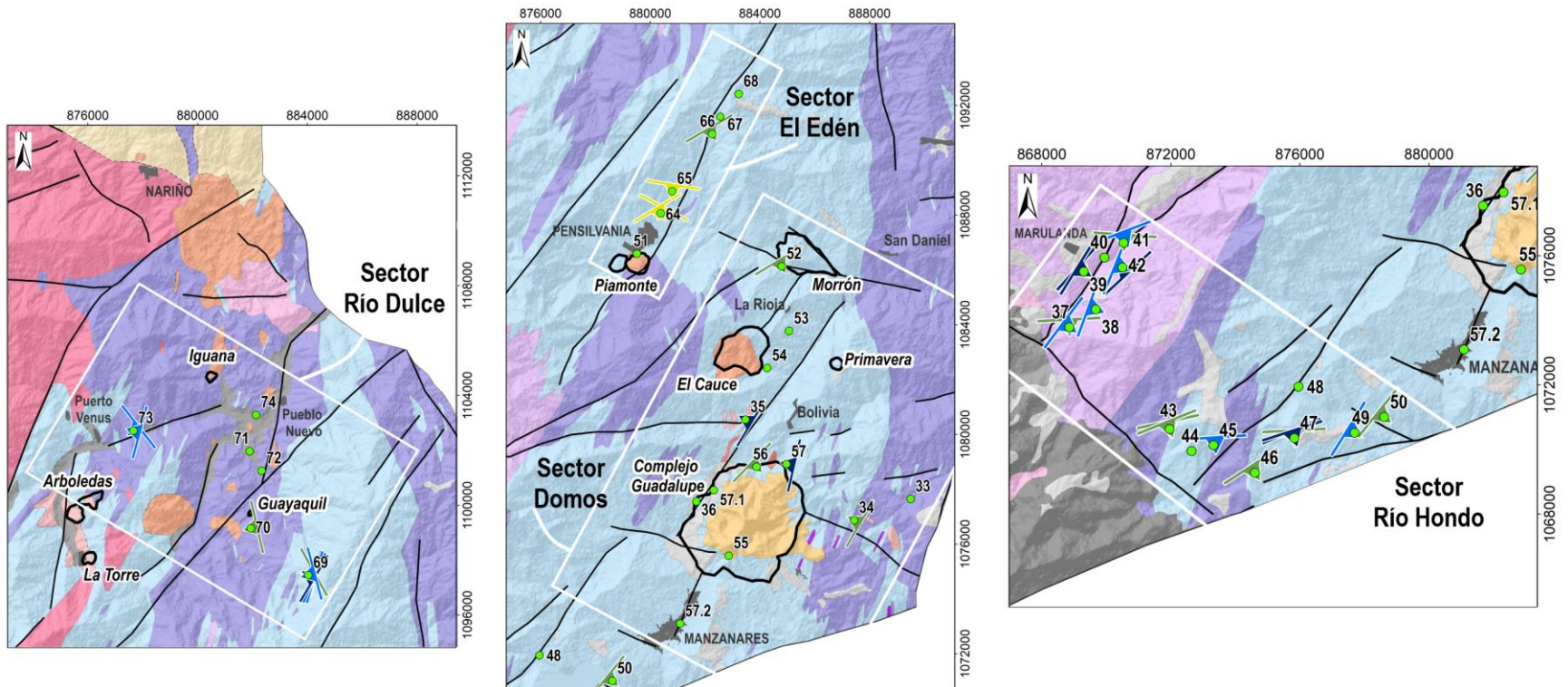
Diagramas rosas de los datos estructurales del dominio 1



Nota. Diagramas rosas de diaclasas, foliación, venas, clivaje, junto con tensores de esfuerzos calculados a partir de las diaclasas. Los números subrayados indican las estaciones. En el mapa se representan los datos estructurales de la foliación diferenciándolos por inclinación del plano mediante colores y los cuadros color blanco señalan los sectores definidos para este dominio.

Figura E2

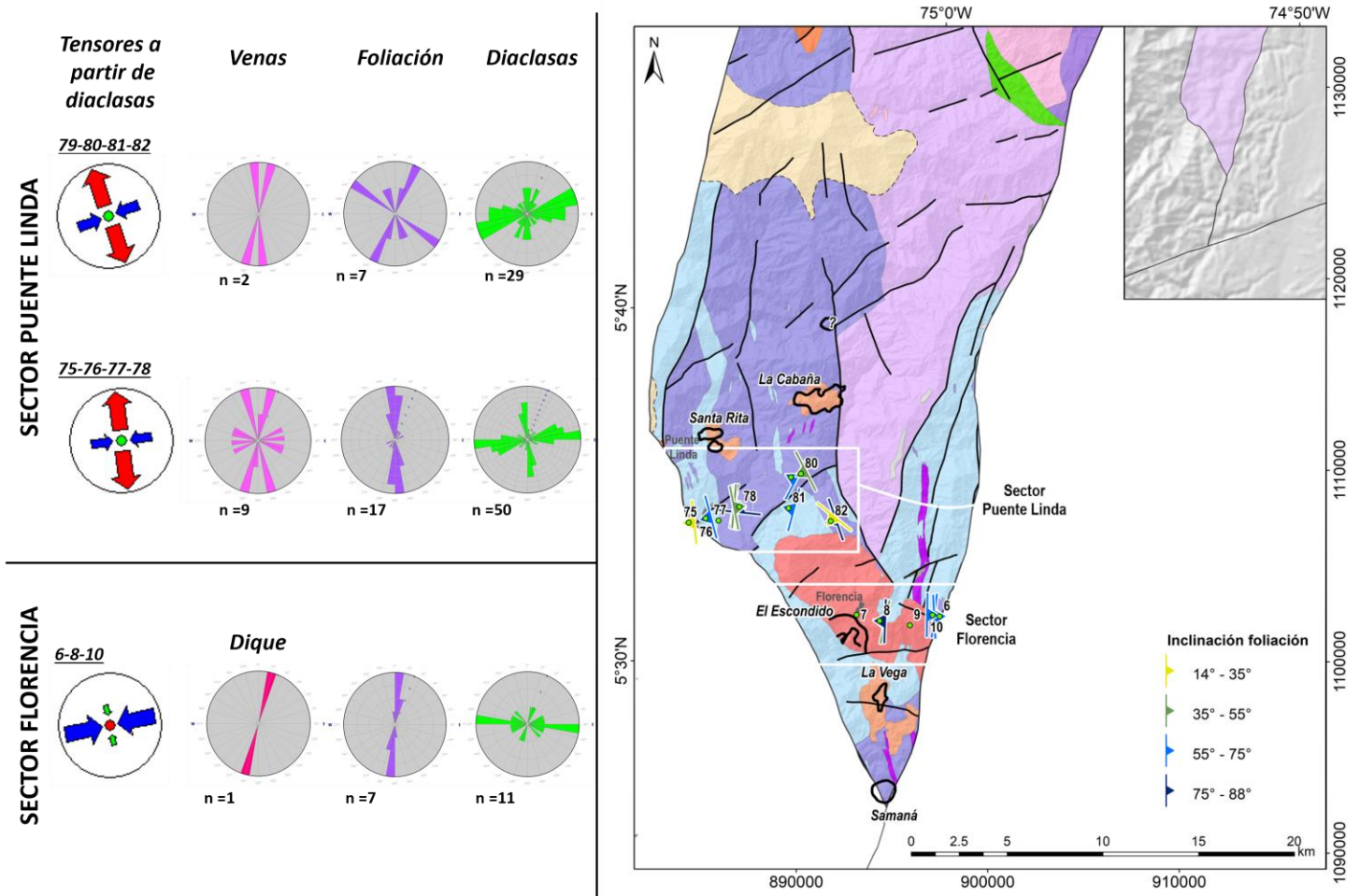
Sectores del dominio 1



Nota. Acercamiento de los sectores determinados para el dominio 1.

Figura E3

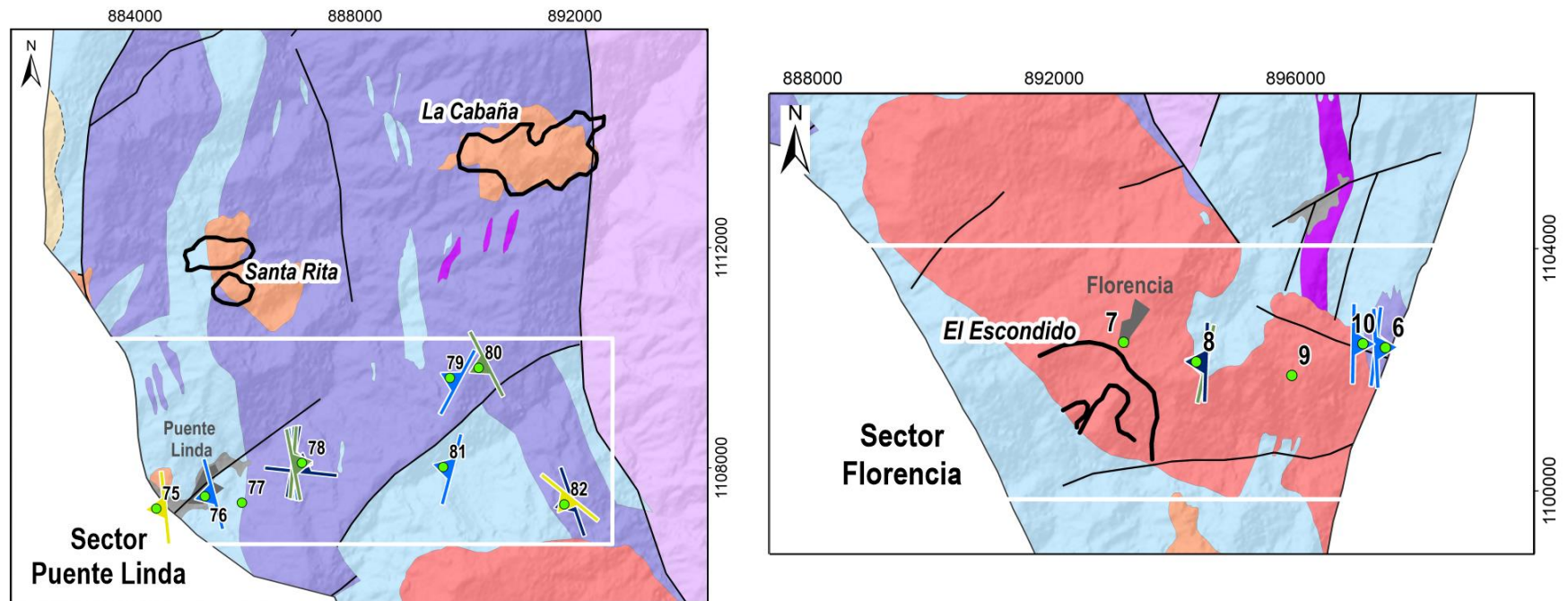
Diagramas rosas de los datos estructurales del dominio 2



Nota. Diagramas rosas de diaclasas, foliación, venas, diques, junto con tensores de esfuerzos calculados a partir de las diaclasas. Los números subrayados indican las estaciones. En el mapa se representan los datos estructurales de la foliación diferenciándolos por inclinación del plano mediante colores y los cuadros color blanco señalan los sectores definidos para este dominio.

Figura E4

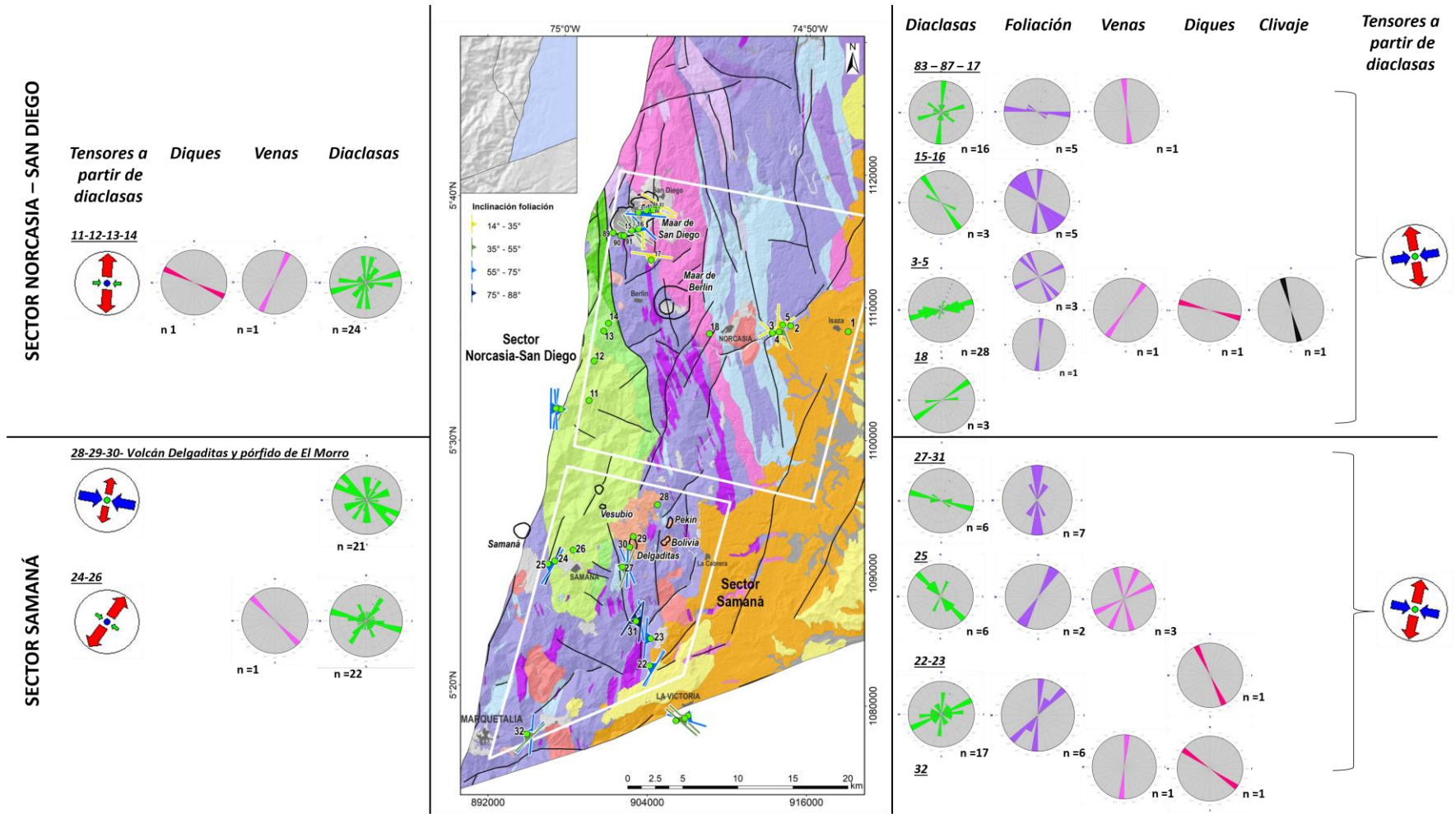
Sectores del dominio 2



Nota. Acercamiento de los sectores determinados para el dominio 2.

Figura E5

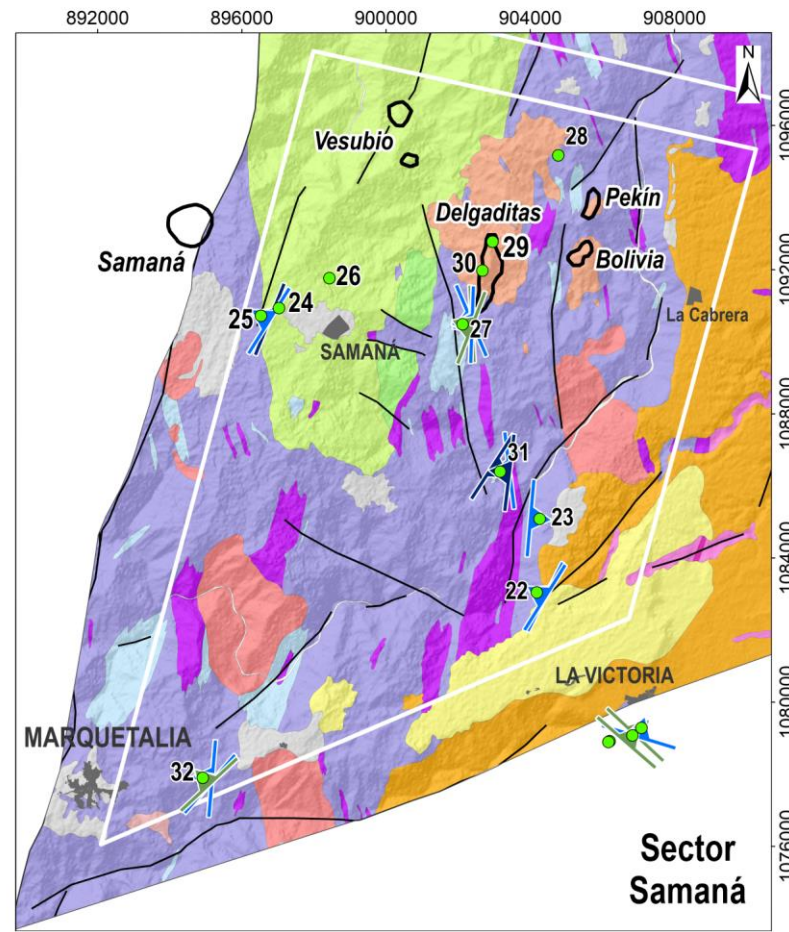
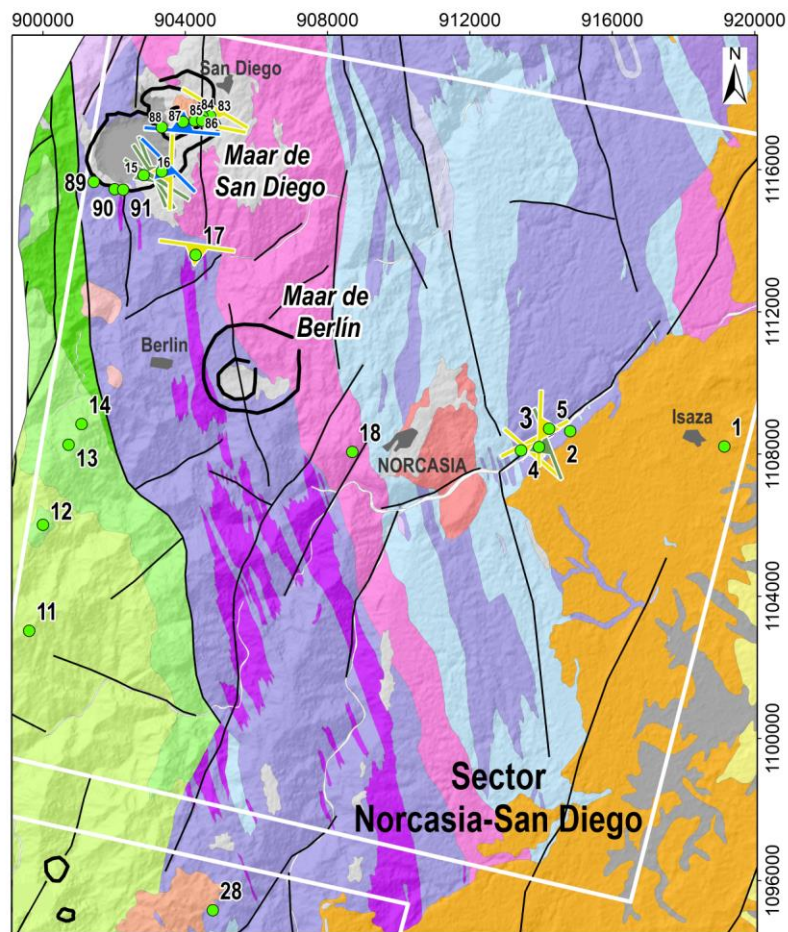
Diagramas rosas de los datos estructurales del dominio 3



Nota. Diagramas rosas de diaclasas, foliación, venas, diques y clivaje junto con tensores de esfuerzos calculados a partir de las diaclasas. Los números subrayados indican las estaciones. En el mapa se representan los datos estructurales de la foliación diferenciándolos por inclinación del plano mediante colores y los cuadros color blanco señalan los sectores definidos para este dominio.

Figura E6

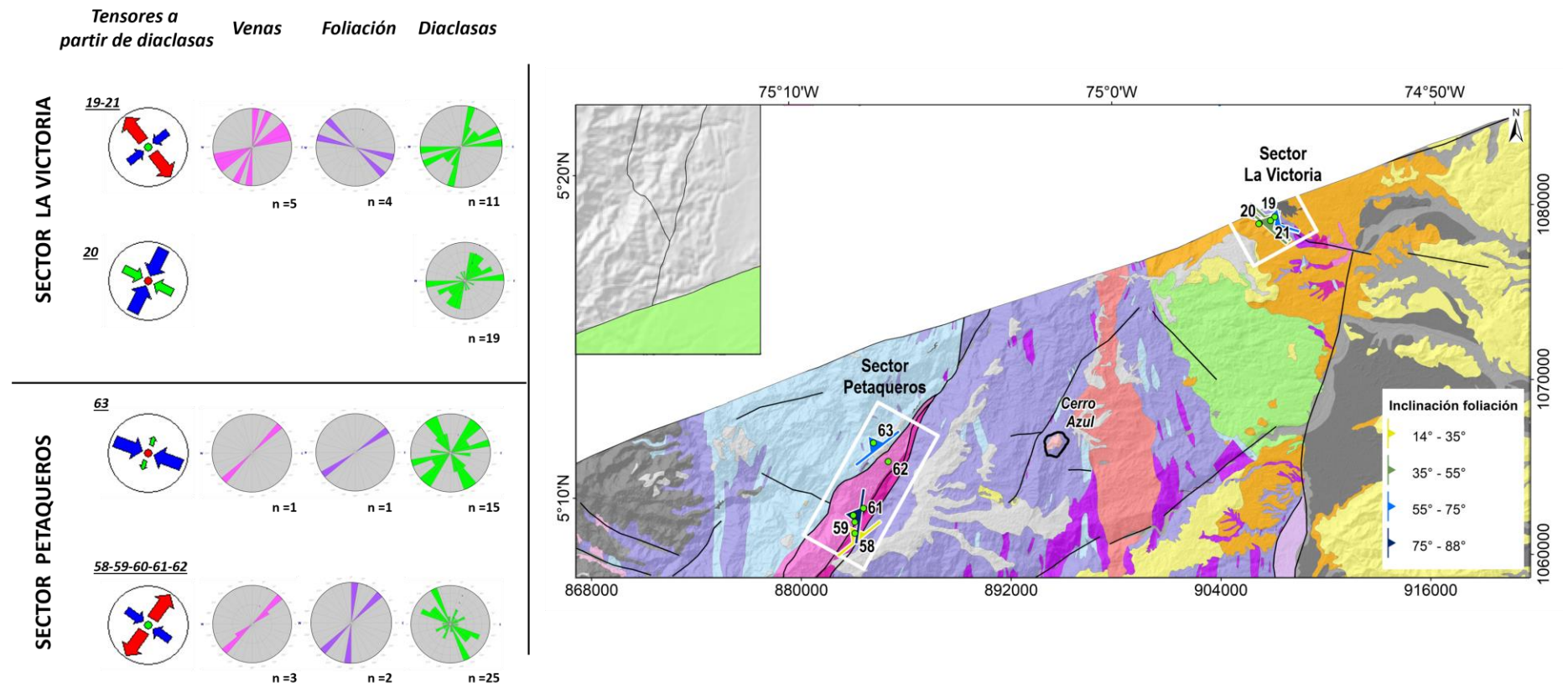
Sectores del dominio 3



Nota. Acercamiento de los sectores determinados para el dominio 3.

Figura E7

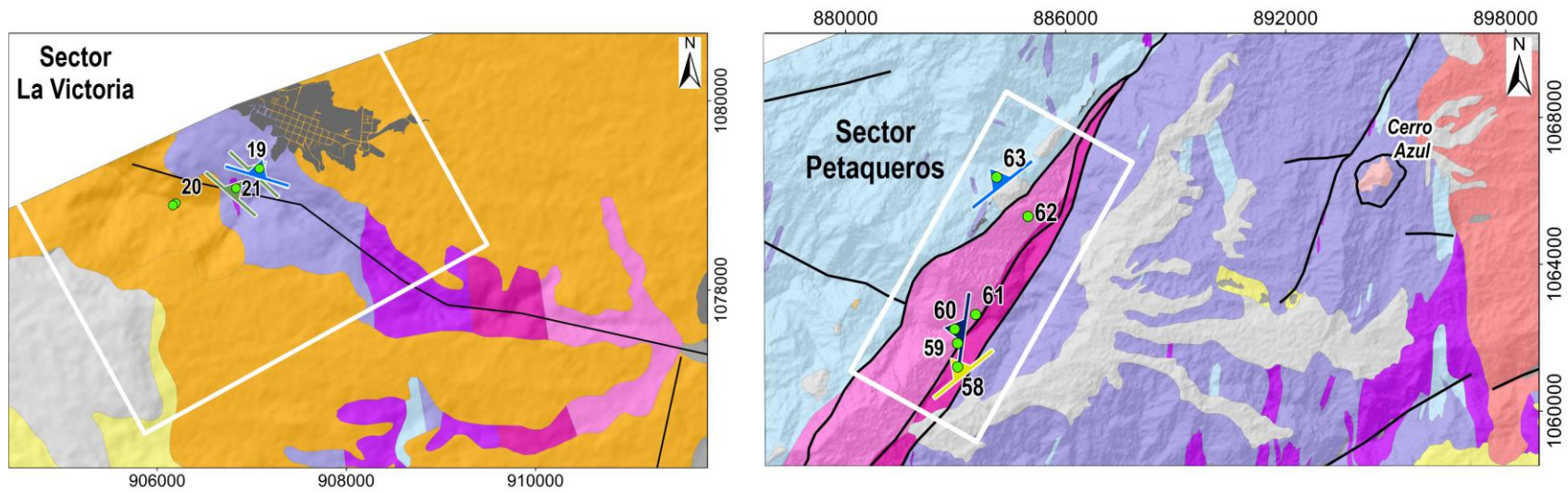
Diagramas rosas de los datos estructurales del dominio 4



Nota. Diagramas rosas de diaclasas, foliación, venas, junto con tensores de esfuerzos calculados a partir de las diaclasas. Los números subrayados indican las estaciones. En el mapa se representan los datos estructurales de la foliación diferenciándolos por inclinación del plano mediante colores y los cuadros color blanco señalan los sectores definidos para este dominio.

Figura E8

Sectores del dominio 4



Nota. Acercamiento de los sectores determinados para el dominio 4.

Tabla E1

Parámetros de los tensores obtenidos a partir de diaclasas (por estaciones)

	N	Estaciones AU	Litología	Método	Tensor	N	N	σ_1	σ_2	σ_3	R	R'	SHmax	CD	α	F5	QRt	Régimen
D1	1	73, 74	Cuarcitas y esquistos	RO		8	15	66/ 092	20/ 307	13/ 212	0.56	0.56	119	-	0	0	D	NF
	2	69, 70	Esquistos y cuarcitas	RO		17	22	62/ 127	28/ 318	04/ 225	0.83	0.83	135	-	0	0.2	D	NF
	3	71,72	Rocas volcánicas	IRD		7	22	55/ 222	24/ 352	24/ 093	0.93	1.14	004	15.5	-	-	D	NF
	4	64 a 68	Esquistos y cuarcitas	IRD		7	24	32/ 300	57/ 110	04/ 207	0.83	1.26	118	16.2	-	-	E	SS
	5	51	Rocas volcánicas	IRD		7	10	65/ 023	23/ 183	08/ 277	1	1.03	007	12	-	-	E	NF
	6	37, 41	Esquistos	IRD		5	10	25/ 333	34/ 082	45/ 215	0.89	1.63	129	13.7	-	-	E	TS
	7	38, 39, 40, 42	Esquistos	IRD		10	28	76/ 152	13/ 314	04/ 045	0.75	0.5	135	20.2	-	-	E	NF
	8	43,44,45	Esquistos y cuarcitas	RO		12	28	08/ 305	60/ 200	28/ 039	0.52	1.48	127	-	0	0.7	D	SS
	9	46,47 49,50	Esquistos	RO		13	18	01/ 313	73/ 220	17/ 043	0.52	1.48	133	-	0. 2	0.3	D	SS
	10	53, 54 35	Cuarcitas	RO		14	25	34/ 144	55/ 313	05/ 051	0.8	1.2	141	-	1	1.8	D	SS
	11	36	Cuarcitas	IRD		6	14	18/ 074	44/ 182	40/ 328	0.92	1.46	060	12.7	-	-	D	TS
	12	33, 34	Esquistos y cuarcitas	RO		9	12	08/ 322	78/ 194	09/ 054	0.5	1.5	143	-	0	1.4	D	SS
	13	56, 57	Cuarcitas	RO		15	17	19/ 190	62/ 320	20/ 093	0.73	1.27	005	-	0	0.9	D	SS
	14	55	Rocas volcánicas	IRD		5	13	04/ 028	72/ 131	18/ 296	0.89	1.41	027	14.5	-	-	E	SS
D2	15	6, 8, 10	Cuarcitas y esquistos	RO		7	11	14/ 070	28/ 332	58/ 183	0.64	2.64	078	-	0	0	E	TF
	16	75, 76 77, 78	Esquistos y cuarcitas	RO		24	50	16/ 082	73/ 239	06/ 351	0.93	1.07	080	-	7. 2	30. 5	E	SS
	17	79, 80 81, 82	Esquistos y cuarcitas	RO		10	29	14/ 243	57/ 130	29/ 341	0.88	1.12	070	-	7. 7	37. 1	D	SS
D3	18	3 a 5 15 a 18 83, 87	Esquistos e intrusivo néisico	RO		28	51	35/ 080	55/ 259	01/ 350	0.71	1.29	080	-	0	0.1	D	SS
	19	11 a 14	Cuarzomonzonitas y dioritas	RO		8	24	63/ 140	16/ 264	21/ 001	0.86	0.86	092	-	6. 3	25. 6	E	NF
	20	22, 23, 25 27, 31, 32	Esquistos	RO		14	29	29/ 274	56/ 128	15/ 013	0.15	1.31	100	-	0	0.2	D	SS
	21	24, 26	Complejo I. Samaná	RO		9	22	67/ 110	22/ 308	07/ 215	0.83	0.83	125	-	0	0	D	NF
	22	28 a 30	Delgaditas y Pórfido El Morro	RO		10	21	07/ 100	59/ 358	30/ 194	0.2	1.8	101	-	0	0.2	D	SS
D4	23	19, 21	Cuarcitas	RO		10	11	09/ 054	73/ 176	14/ 322	0.89	1.11	052	-	0	0	D	SS
	24	20	Rocas volcánicas	IRD		11	19	00/ 026	17/ 296	73/ 117	0.85	2.5	026	15.3	-	-	D	TF
	25	59 a 63	Intrusivo néisico y anfíbolita	RO		18	40	25/ 308	63/ 110	07/ 214	0.84	1.16	125	-	0	0.3	D	SS

Nota. TS: transpresión, TF: transpresión, NF: distensión; SS: transcurrencia. n es el número de datos usados en la inversión final para cada N set de datos. σ_n corresponden al plunge/trend de cada eje de esfuerzos, R al *stress ratio* y R' al *stress regimen*. SHmax es la dirección del esfuerzo máximo horizontal. CD es la desviación estándar (método IRD), α es la desviación entre las direcciones de movimiento

teóricas y las observadas y F_5 es la función de optimización del tensor (método RO). QR_t es una medida que califica la calidad del tensor. Se pueden leer más detalles de cada uno de estos parámetros en Delvaux & Spenser (2003).